

Fig. 1

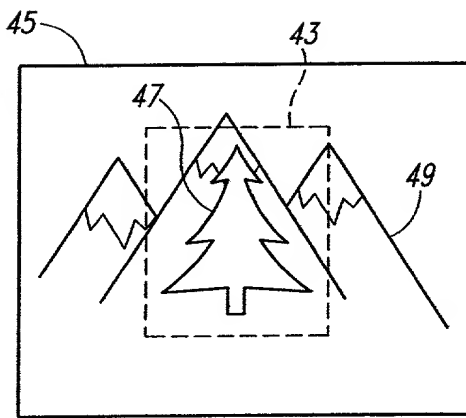


Fig. 2A

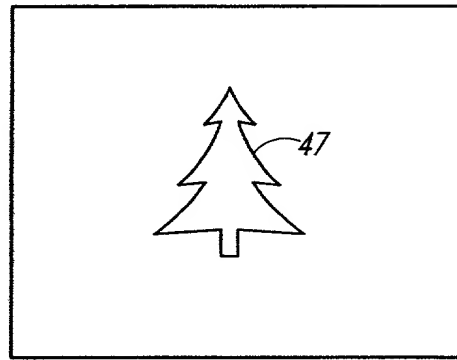


Fig. 2B

20250909 10:24:10

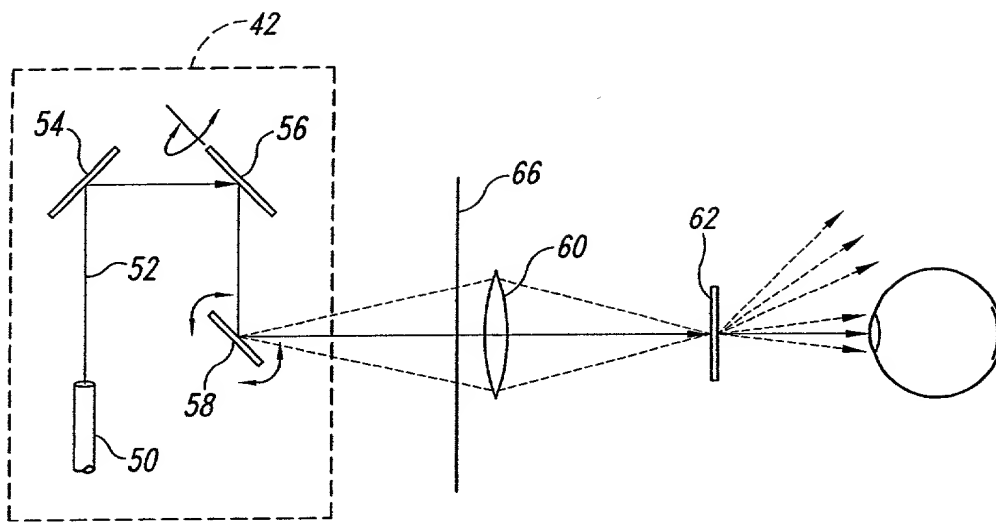
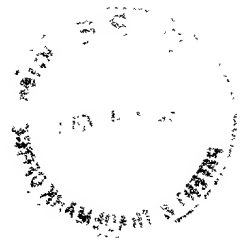


Fig. 3

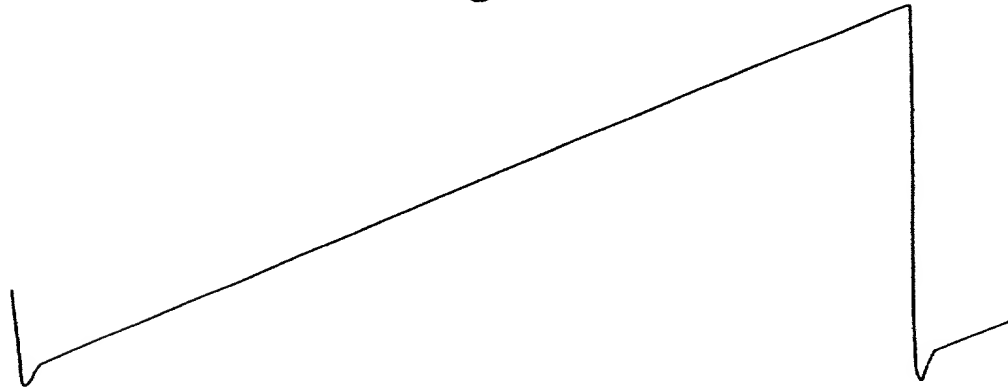


Fig. 4A

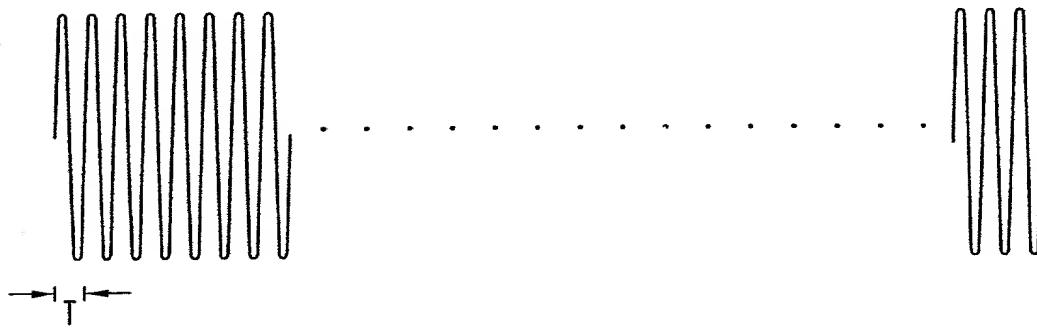


Fig. 4B

3910



4/16

70

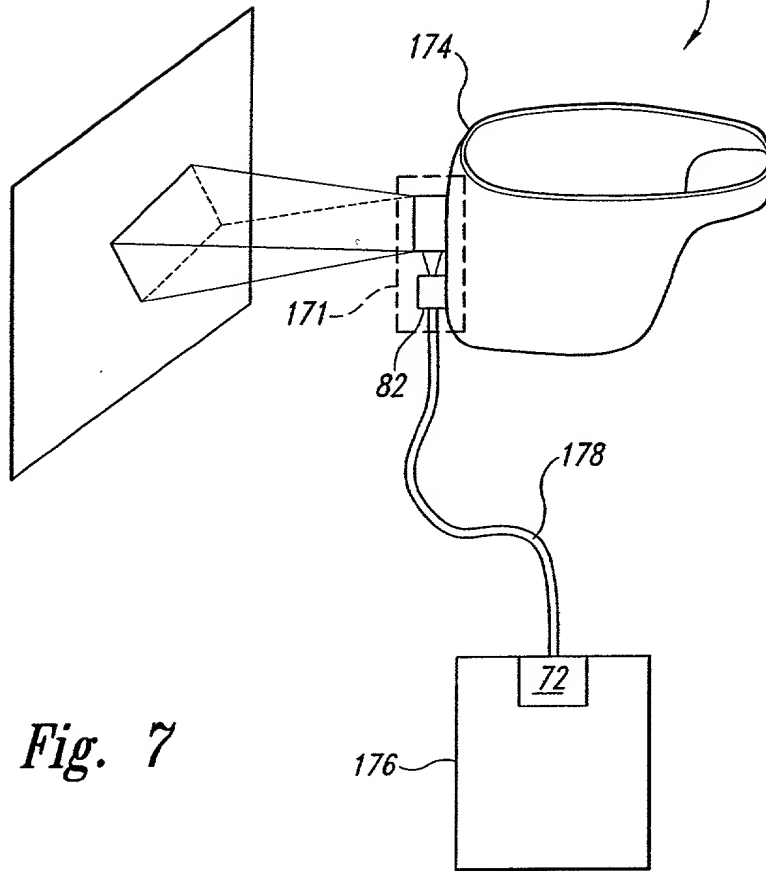


Fig. 7

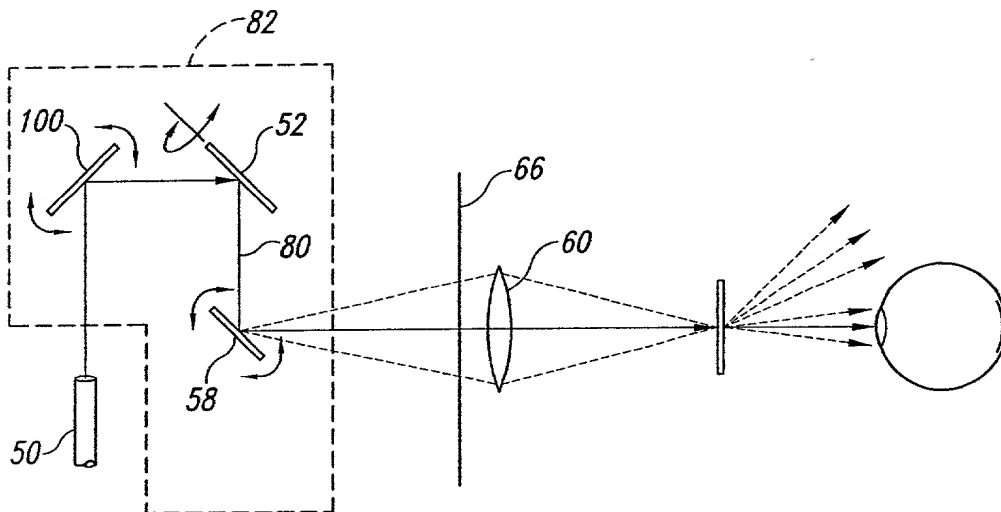
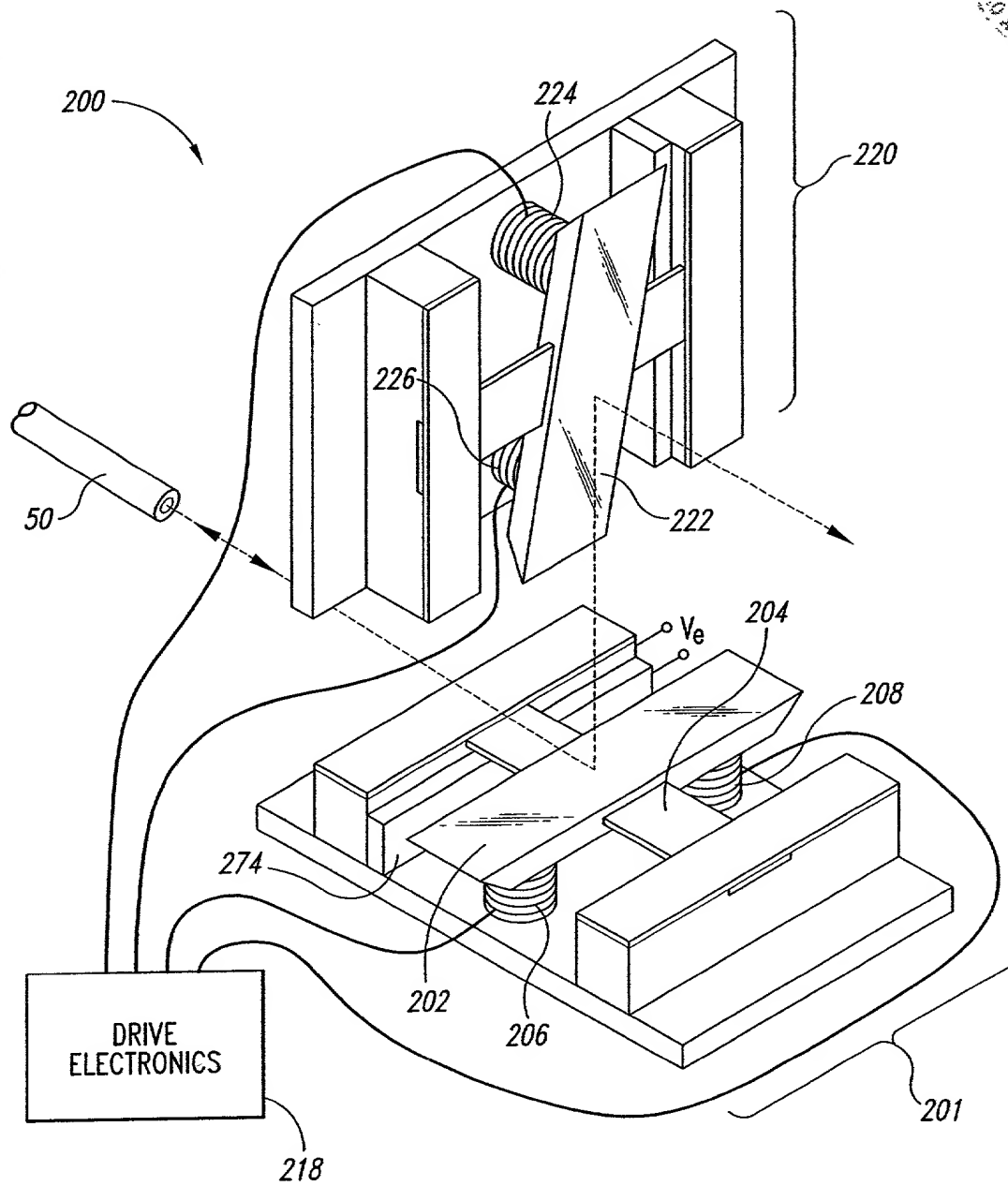


Fig. 8

00000753 014000

*Fig. 9*

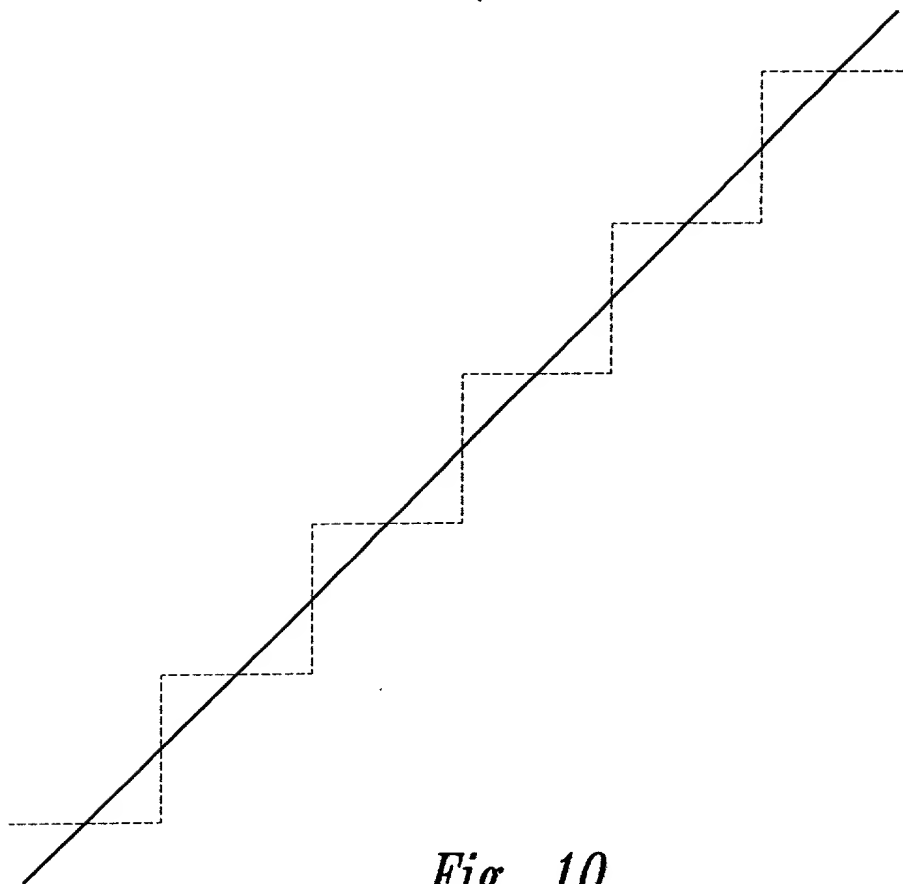


Fig. 10

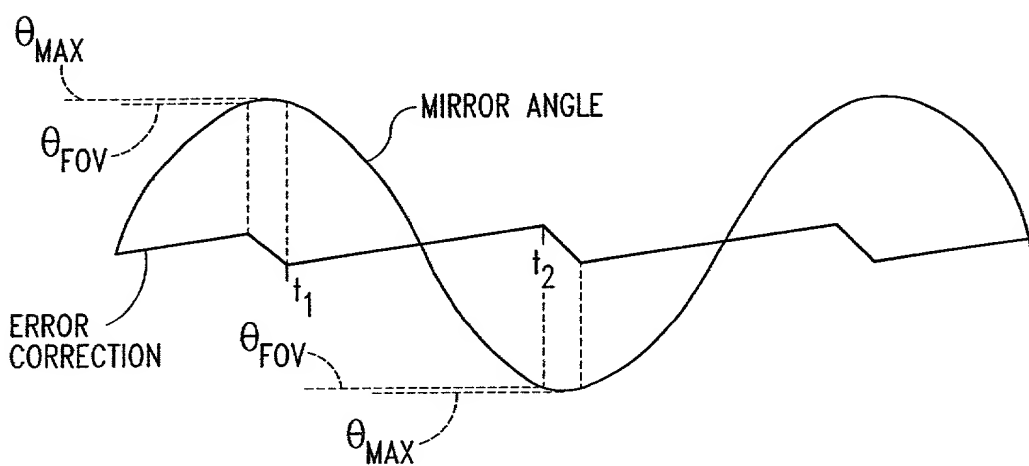


Fig. 11

09060753-011003

7/16

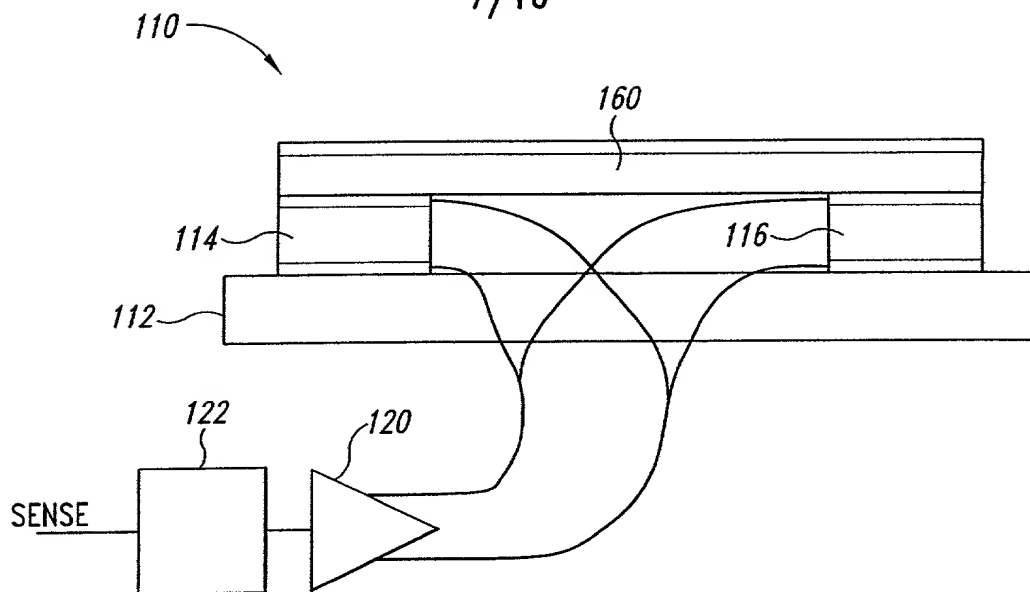


Fig. 12

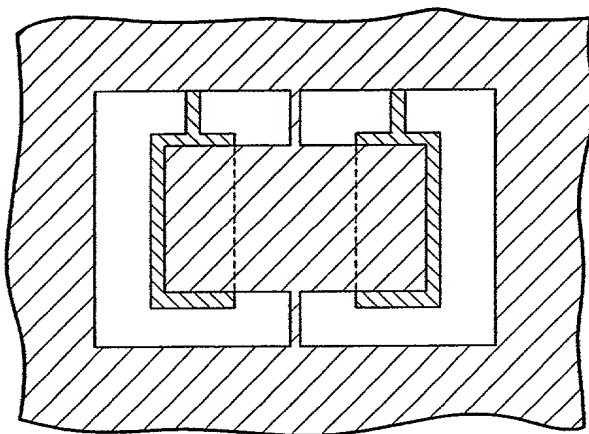


Fig. 13A

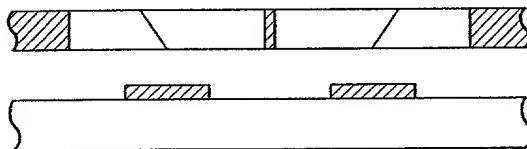


Fig. 13B

09660752 041003

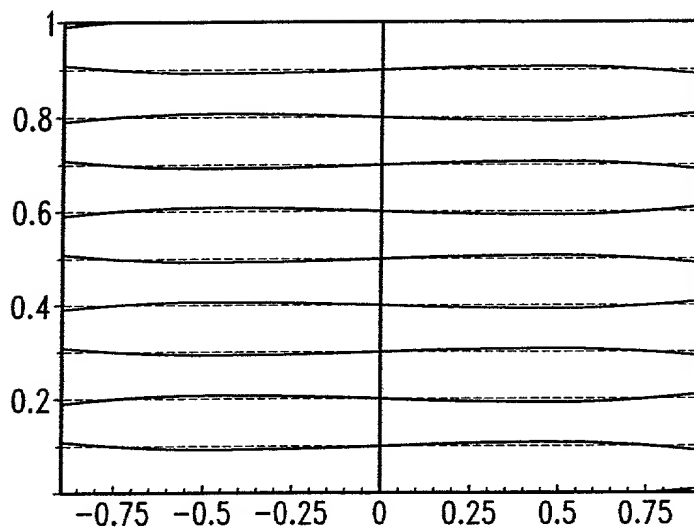
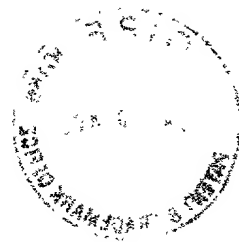


Fig. 14

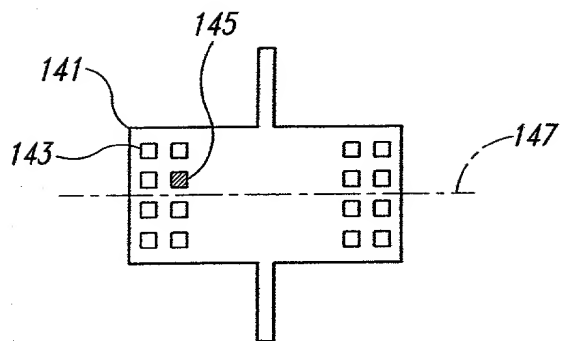


Fig. 15

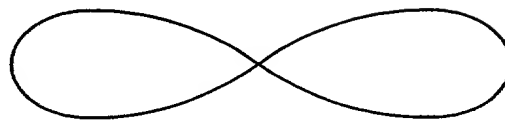
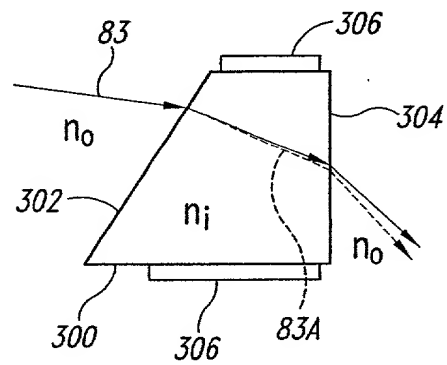
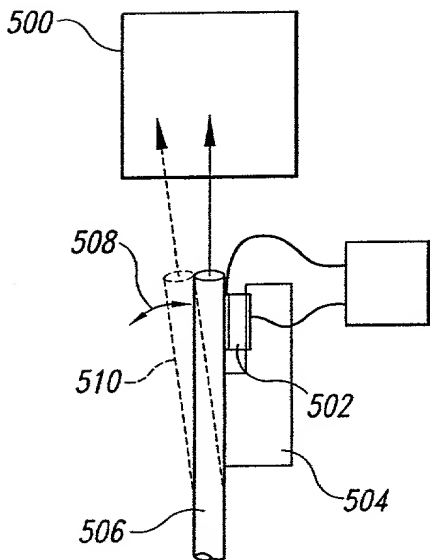
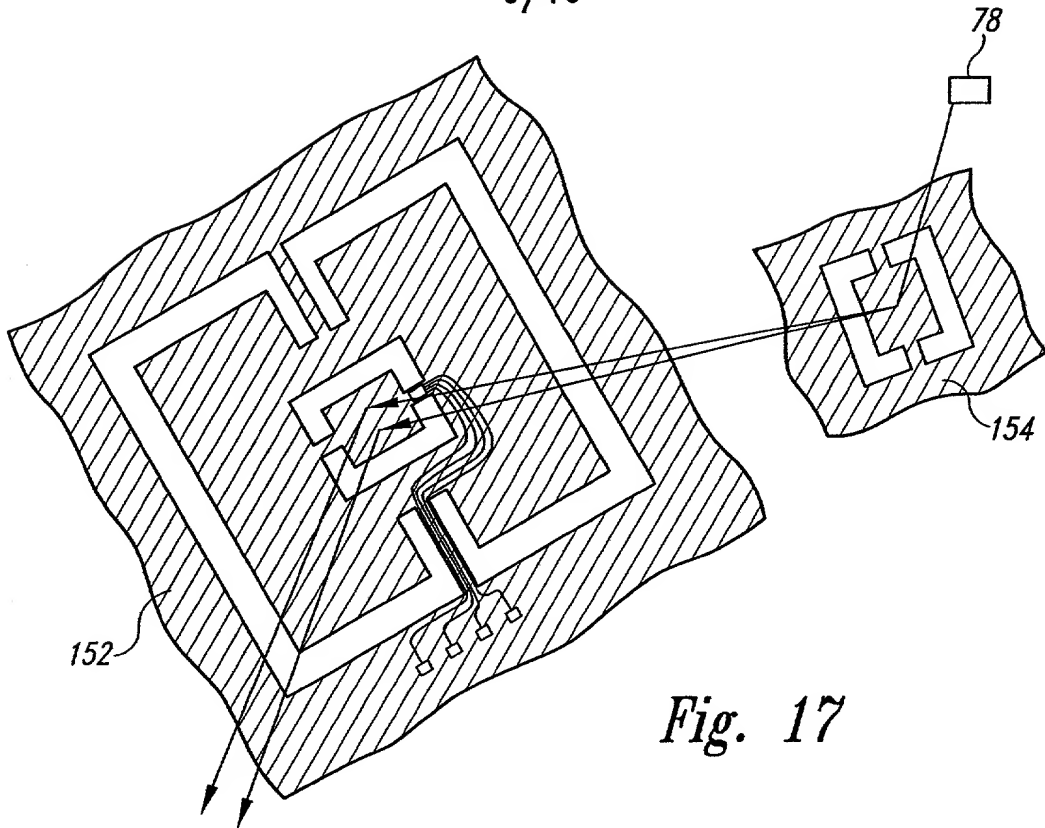
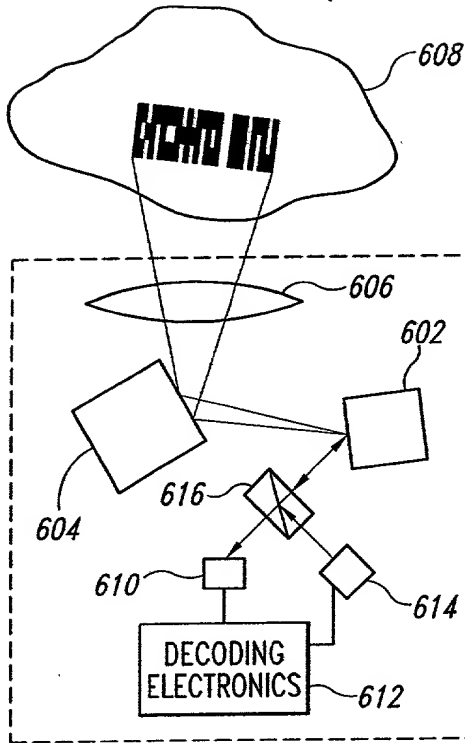


Fig. 16

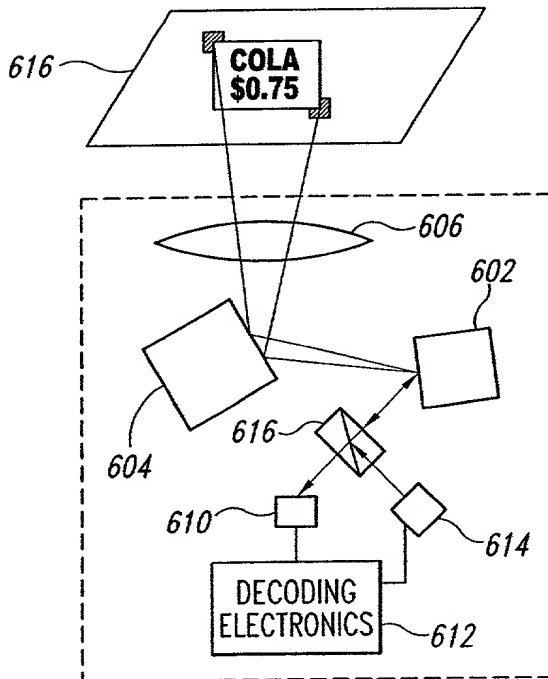


10/16



600

Fig. 20



600

Fig. 21



000074-0400

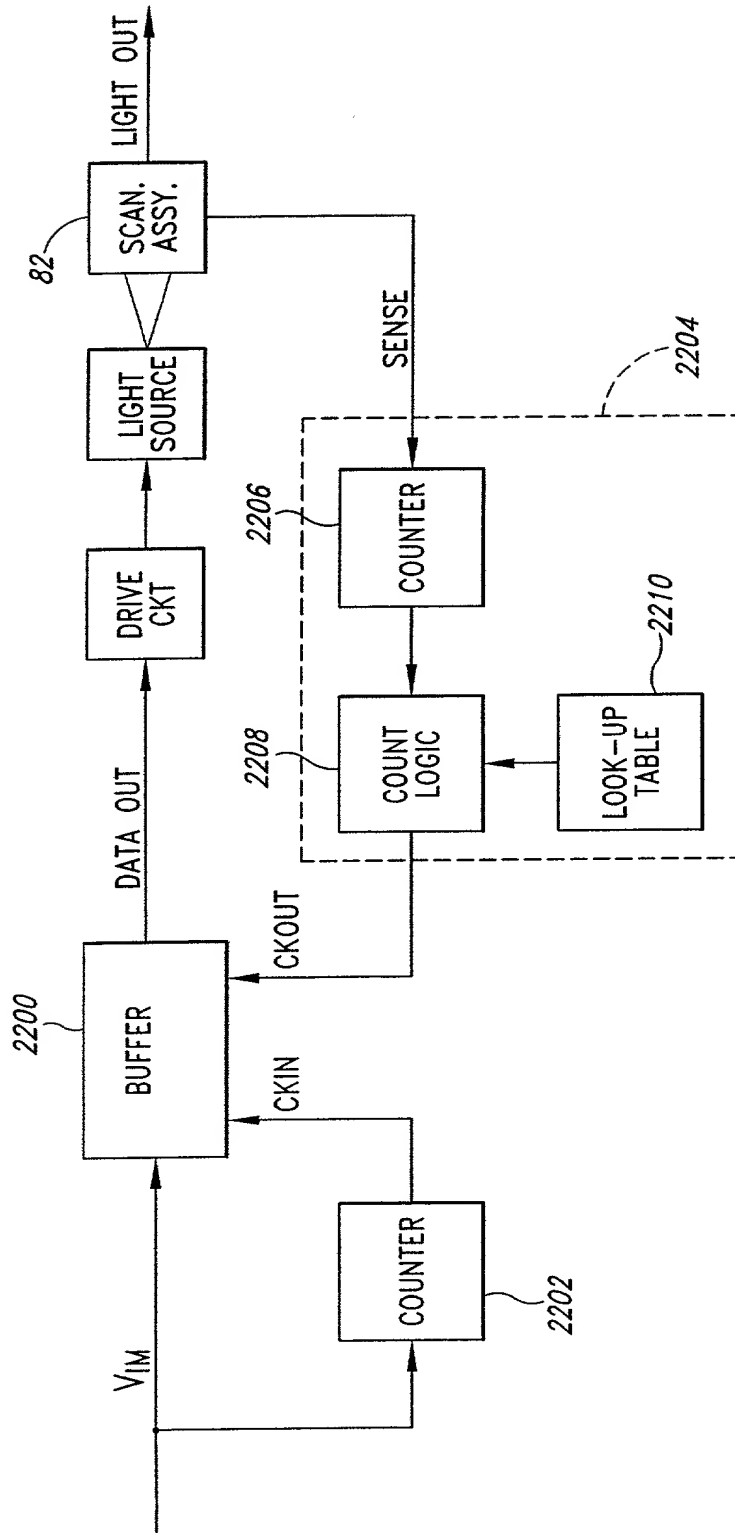


Fig. 22

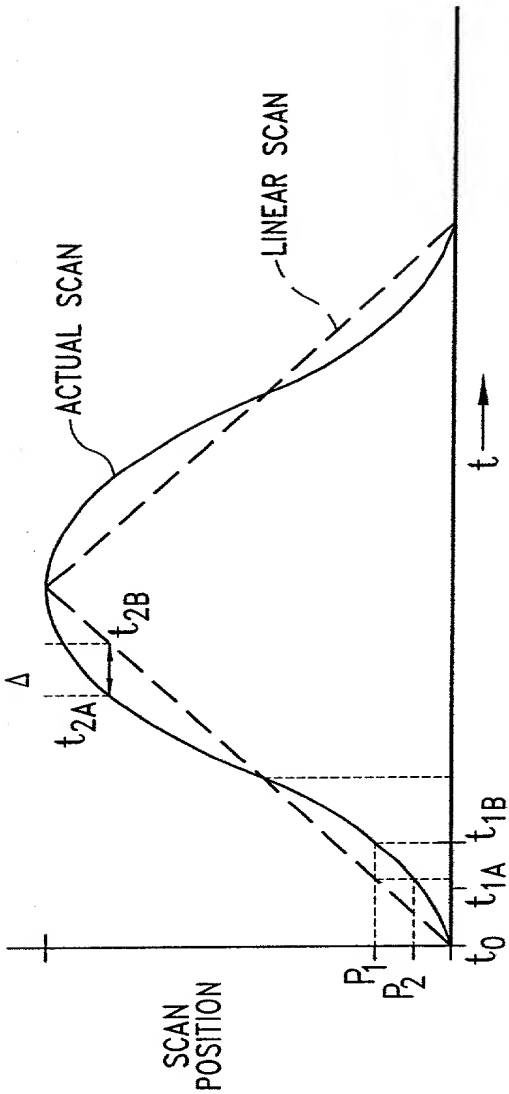


Fig. 23

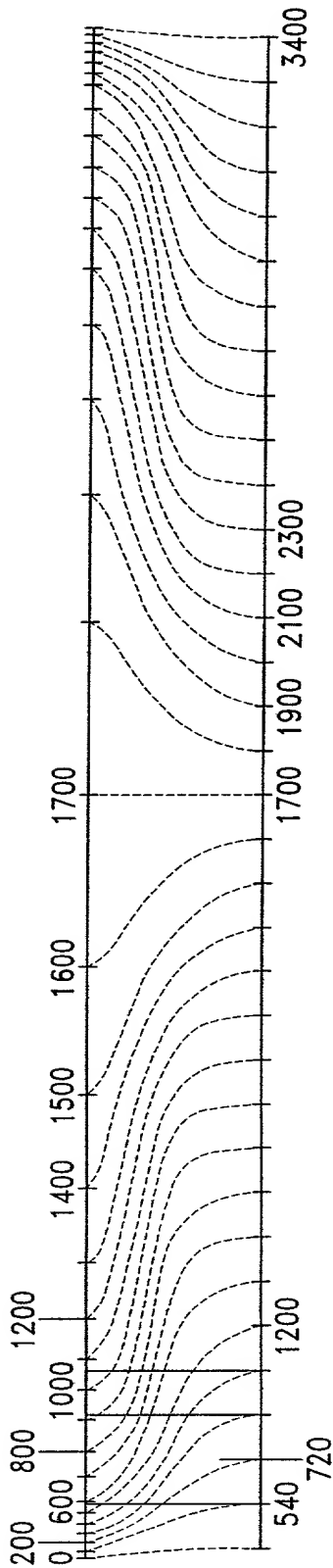


Fig. 24

1 2 3 4 5 6 7 8 9 10 11 12 13 14 15 16



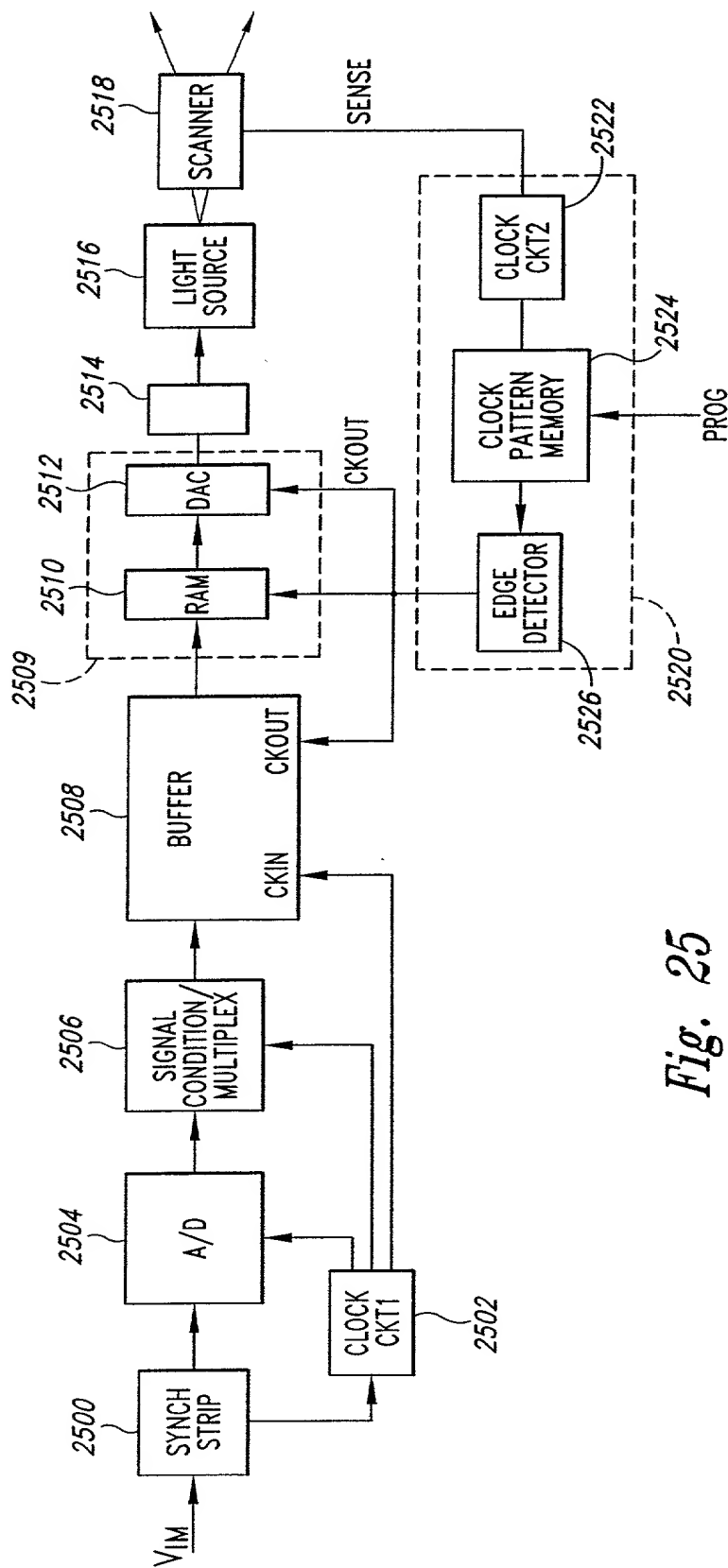


Fig. 25



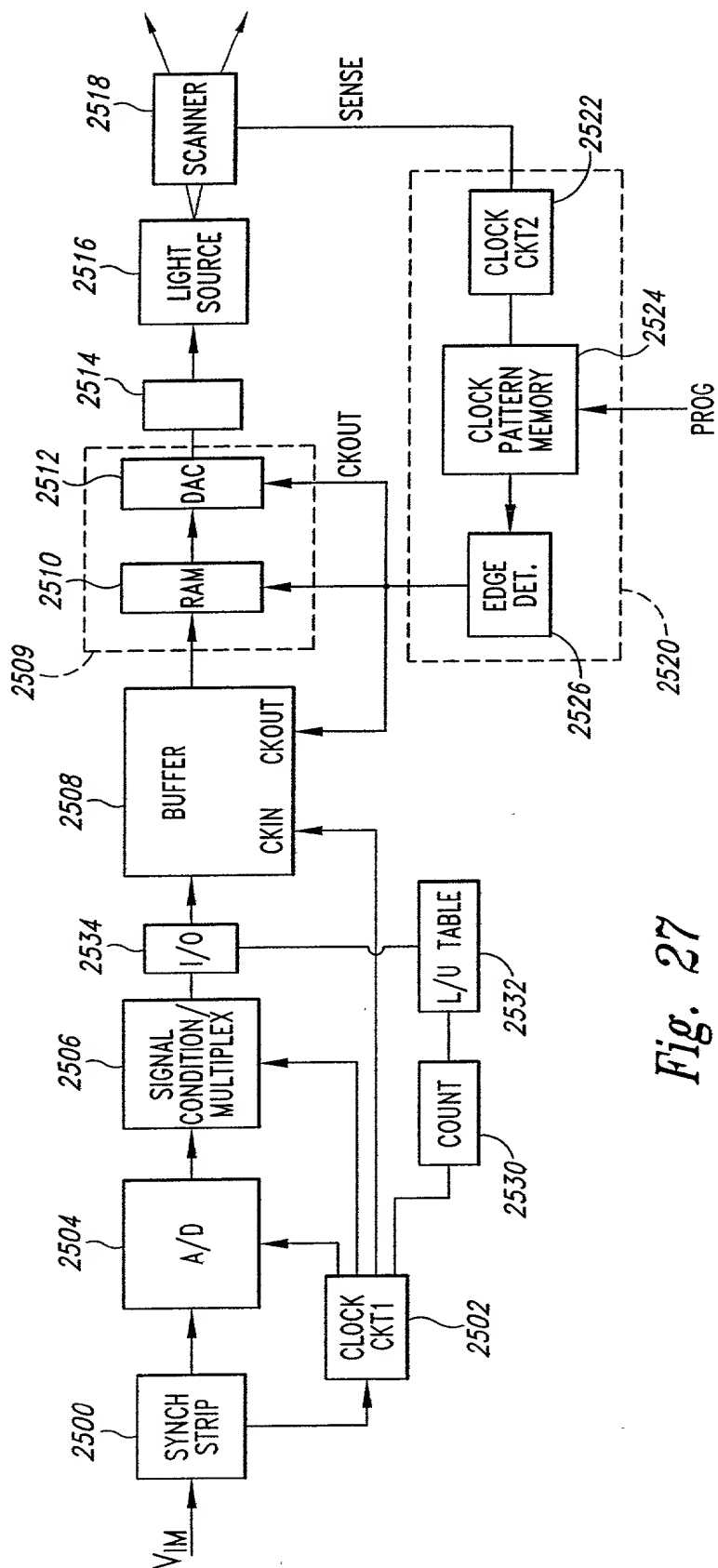


Fig. 27





B _{0,0}	B _{0,1}	B _{0,2}	0	0	0	0	0	0	0	0
B _{1,0}	B _{1,1}	B _{1,2}	B _{0,3}	B _{0,4}	B _{0,5}	B _{0,6}	B _{0,7}	0	0	0
B _{2,1}	B _{2,3}	B _{2,2}	B _{1,3}	B _{1,4}	B _{1,5}	B _{1,6}	B _{1,7}	B _{0,8}	B _{0,9}	B _{0,10}

Fig. 28